

ПЕТРОЛОГИЯ

УДК 550.93:552.3 (571.53)

ГЕОЛОГИЧЕСКАЯ ПОЗИЦИЯ, ВОЗРАСТ И ИСТОЧНИКИ ТАЛЛАИНСКОГО ГАББРО-ДИОРИТ-ПЛАГИОГРАНИТНОГО ПЛУТОНА (СРЕДНЕВИТИМСКАЯ ГОРНАЯ СТРАНА)

© 2023 г. Е. Ю. Рыцк¹, С. Д. Великославинский¹, член-корреспондент РАН А. Б. Кузнецов¹,
Е. В. Толмачева¹, Н. В. Родионов³, Н. Г. Бережная³, П. А. Львов³,
Е. С. Богомолов¹, А. А. Андреев^{2,*}, А. М. Федосеенко¹

Поступило 15.09.2022 г.

После доработки 01.11.2022 г.

Принято к публикации 02.11.2022 г.

Представлены результаты геохронологического исследования ($U-Pb$ SHRIMP-II) циркона из гранодиоритов и плагиогранитов главной фазы Таллаинского plutона Байкало-Витимского пояса. Полученные оценки возраста магматических ядер циркона гранодиорита и плагиогранита в пределах ошибок совпадают друг с другом и интерпретируются как возраст кристаллизации пород главной фазы Таллаинского plutона 661 ± 6 млн лет. Средневзвешенное значение возраста метаморфических оболочек циркона этих пород составляет 637 ± 5 млн лет. Высокие положительные значения $\varepsilon_{Nd}(660)$ +7.2 и +7.3 в породах главной фазы указывают на ювенильный источник родонаучальных расплавов. На основании новых и ранее опубликованных геохронологических данных сделан вывод о формировании однотипных позднебайкальских ювенильных габбро-гранитных ассоциаций Байкало-Витимского пояса на рубеже 660 млн лет (таллаинский комплекс) и 603–615 млн лет (падоринский комплекс).

Ключевые слова: $U-Pb$ -возраст, циркон, гранодиорит, плагиогранит, Байкало-Витимский пояс

DOI: 10.31857/S2686739722601934, **EDN:** SVLQHE

ВВЕДЕНИЕ

Байкало-Муйский вулкано-плутонический пояс является одним из тектонотипов неопротерозойских складчатых поясов Центральной Азии [1], однако в геологии этой ключевой структуры гетерогенного строения остается много дискуссионных вопросов. Один из них связан с неопределенностью тектонической позиции и возраста габбро-гранитных интрузий, которые, несмотря на очевидно различные оценки возраста ($U-Pb$ по циркону) [2], объединяются в единый “таллаинский” магматический комплекс “верхнерифейского” возраста [3]. Учитывая важное значение габбро-гранитных ассоциаций для палеогеодинамических реконструкций складчатых зон ([4]; др.), а также принимая во внимание установ-

ленное многоэтапное формирование габбро-гранитных интрузий в типичных раннекаледонских структурах Центрально-Азиатского орогенного пояса (ЦАОП) [5], решение отмеченных выше проблем многофазного габбро-гранитоидного магматизма неопротерозойского вулкано-плутонического пояса представляется крайне актуальным.

ГЕОЛОГИЧЕСКАЯ ПОЗИЦИЯ ГАББРО-ДИОРИТ-ПЛАГИОГРАНИТНЫХ ИНТРУЗИЙ

Согласно нашим геологическим данным, на территории Муйского региона, охватывающей восточный сегмент “Байкало-Муйского пояса” в его границах по [6], выделяются две тектонические структуры – Байкало-Витимский пояс (БВП) и Анамакит-Муйский террейн (АМТ) (рис. 1 а). В предложенной схеме тектонического районирования Муйского региона Байкало-Витимский пояс является крупной пограничной системой структур между краевой частью кратона и Анамакит-Муйским террейном ЦАОП. Широко развитые в регионе габбро-гранитные интрузии находятся в составе позднебайкальских и ранне-

¹Институт геологии и геохронологии докембрия Российской академии наук, Санкт-Петербург, Россия

²Институт геологии рудных месторождений, петрографии, минералогии и геохимии Российской академии наук, Москва, Россия

³Всероссийский геологический институт, Санкт-Петербург, Россия

*E-mail: axel-foley@yandex.ru

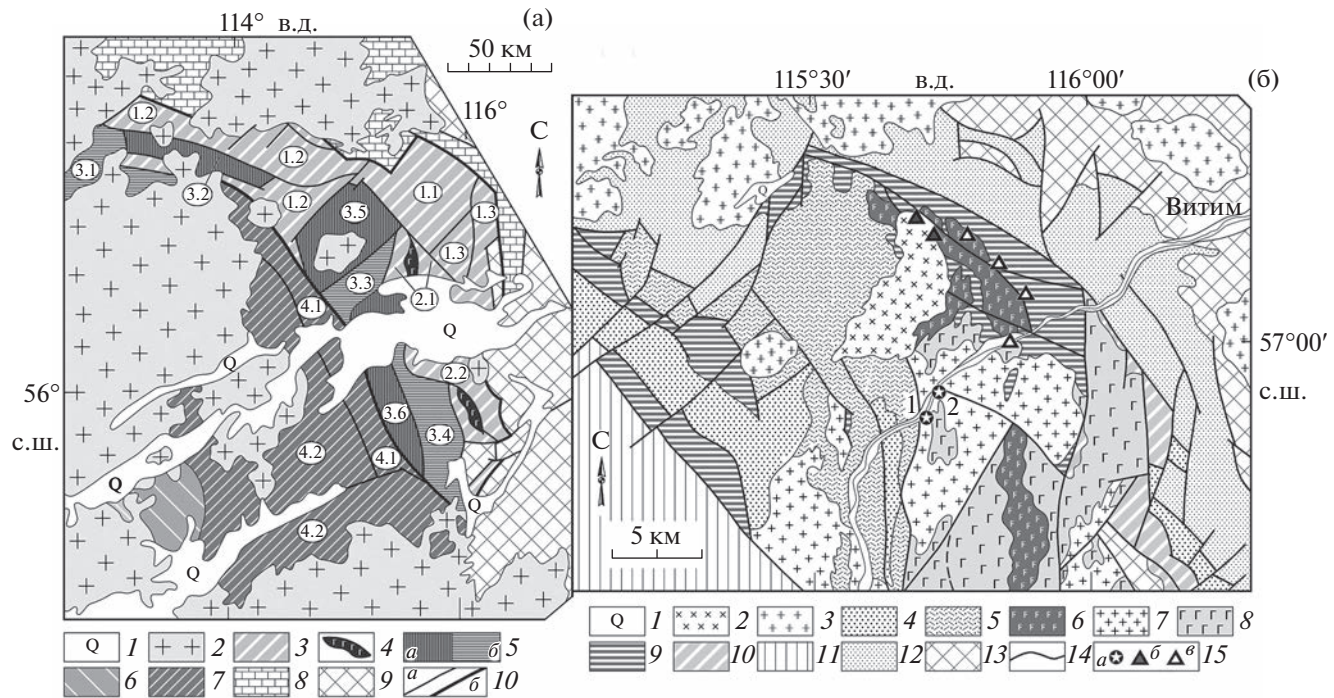


Рис. 1. (а) – Схема тектонического районирования Муйского региона (восточная часть “Байкало-Муйского пояса” в его границах по [6]) и (б) схема геологической позиции габбро-гранитных ассоциаций в строении Карапон-Мамаканской зоны (Средневитимская горная страна). (а): 1 – Байкало-Витимский пояс четвертичные впадины; 2 – позднепалеозойские гранитоиды Ангаро-Витимского батолита; 3–5: 3 – позднебайкальские структуры; 4 – ультрабазиты; 5 – раннебайкальские блоки метаморфических (а), метаосадочных и вулкано-плутонических комплексов (б); Структуры северного фланга Центрально-Азиатского орогенного пояса (ЦАОП) (б–8): 6 – Уакитский блок; 7 – раннебайкальский Анамакит-Муйский террейн; Сибирский кратон (8–11). 8 – Делюн-Уранский осадочный бассейн; 9 – выступы фундамента; 10 – тектонические швы и границы (а), в том числе главные (6). Цифры в кружках: зоны, подзоны и блоки. **Байкало-Витимский пояс.** Карапон-Мамаканская зона, подзоны – Карапонская (1.1), Якорная (1.2); Таллаинский блок (1.3); Парам-Шаманская зона, подзоны – Парамская (2.1) и Шаманская (2.2). Раннебайкальские блоки: Верхне-конкудерский (3.1), Конкудерский (3.2), Самокутский (3.3), Кедровский (3.4), Северо-Муйский (3.5) и Киндиканский (3.6). **Анамакит-Муйский террейн.** Келяно-Иракиндинская зона (4.1); Бамбукийский блок (4.2). (б): 1 – четвертичные отложения; 2 – позднепермские габбро, диориты и гранодиориты Догалдынского массива; 3 – позднепалеозойские гранитоиды; 4 – падроканский терригенно-карбонатный комплекс позднего эдиакария – раннего кембрия; 5 – падринская терригенно-базальт-риолитовая серия позднего эдиакария; 6 – падоринский габбро-диорит-гранодиорит-гранитоидный комплекс раннего эдиакария в бассейне р. Карапон и Таллая; Таллаинский pluton (7–8); 7 – кварцевые диориты, гранодиориты, плагиограниты главной фазы; 8 – габбро, габбро-диориты, апогабровые бластомилониты; 9 – метабазальты и метариолиты карапонской толщи; 10 – метавулканиты и ортосланцы нерасчлененные; 11 – метаморфические толщи Северо-Муйского блока; 12 – карбонатно-терригенная серия Делюн-Уранского осадочного бассейна; 13 – фундамент кратона; 14 – главные тектонические швы; 15 – местоположение точек отбора проб, для которых получены оценки возраста ($U-Pb$ по циркону): (а) – представленные в настоящей работе для гранодиорита (1) и плагиогранита (2) Таллаинского plutона; (б) – опубликованные для Догалдынского массива [11]; (в) – то же, для габбро, плагиогранитов, гранодиоритов и гранитоидов бассейна реки Карапон [11].

байкальских тектонических зон как Байкало-Витимского пояса, так и Анамакит-Муйского террейна. При таком подходе понятие “Байкало-Муйский пояс” (в его традиционных границах) для обозначения тектонических структур Муйского региона является избыточным.

Породы габбро-диорит-плагиогранитных интрузий БВП, обладающие исключительно положительными значениями $\epsilon_{Nd}(t)$ (от +4.6 до +8) [7, 8], формировались за счет позднебайкальских ювенильных источников в диапазоне времени 600–665 млн лет [2, 9–11]. В отличие от них, породы габбро-диорит-плагиогранитных массивов

Анамакит-Муйского террейна, имеющие отрицательные значения $\epsilon_{Nd}(t)$ (от –1.4 до –8.3), формировались с участием древнекоровых источников на рубеже 800–830 млн лет [7]. Таким образом, габбро-гранитные интрузии имеют различные источники и формировались на ранне- и позднебайкальском этапах тектоно-магматической эволюции Анамакит-Муйского террейна и Байкало-Витимского пояса.

Вместе с тем оценки возраста пород позднебайкальских габбро-гранитных ассоциаций БВП, полученные в различное время и различными методами [2, 9–11], заметно отличаются друг от друга.

га. Так, первая опубликованная оценка возраста плагиогранитов Таллаинского массива отвечала нижнему пересечению дискордии 625 ± 14 млн лет [2], полученной по результатам анализа неабразированных зерен циркона, не учитывая таким образом присутствие циркона различного происхождения и возраста (см. ниже). Принимая во внимание более древние оценки возраста метадиоритов Кичерской зоны (ID TIMS) 641 ± 4 млн лет [10] и метагаббро и плагиогранитов Янской зоны (SHRIMP-II) 650 ± 11 млн лет и 646 ± 4 млн лет [9], а также более молодые значения возраста (ID TIMS) $615\text{--}603$ млн лет для габбро, плагиогранитов и гранодиоритов Каралон-Мамаканской зоны из бассейна реки Каралон [11] (рис. 1 б), представляется необходимым уточнить возраст наиболее значительного по своим размерам (площадь не менее 1500 км^2) (см. рис. 1 б) позднебайкальского Таллаинского plutона Каралон-Мамаканской зоны. При этом задача геохронологического исследования состояла в оценке возраста не только формирования пород главной фазы Таллаинского plutона, но и их структурно-метаморфических преобразований, широко проявленных в позднебайкальских комплексах Байкало-Витимского пояса [8, 12].

ГЕОЛОГИЧЕСКОЕ СТРОЕНИЕ ТАЛЛАИНСКОГО ПЛУТОНА И ОБРАЗЦЫ ДЛЯ ГЕОХРОНОЛОГИЧЕСКИХ ИССЛЕДОВАНИЙ

Таллаинский plutон находится в среднем течении Витима, в междуречье Таллаи и Малой Падоры в пределах Каралонской подзоны Каралон-Мамаканской зоны БВП (см. рис. 1 б). По данным ГК/200-1 (Григоров, Григорова, 1962), центральная и восточная части plutона сложены габброидами, в которых отмечены многочисленные зоны высокотемпературных бластомилонитов. На северном и северо-западном флангах plutона развиты в различной степени катаклазированные и рассланцованые диориты, гранодиориты и плагиограниты главной фазы, содержащие ксенолиты габбро и вмещающих метабазальтов. В бассейне р. Малая Падора породы главной фазы plutона трансгрессивно перекрыты полого залегающими вулканомиктовыми субконтинентальными осадками, базальтами и риолитами падринской серии [6] с возрастом 590 ± 5 млн лет [13].

Образцы для U-Pb-геохронологического исследования отобраны в долине Витима в районе устья рек 1-я и 2-я Кычига (см. рис. 1 б) в том же районе Таллаинского plutона, что и плагиограниты, для которых ранее была получена оценка возраста 625 ± 14 млн лет, не имеющая однозначной интерпретации [2]. Циркон выделен из массивного крупнозернистого гранодиорита с признаками катаклаза и эпидотизации (образец

91045-4) и рассланцованного лейкократового плагиогранита (образец 91046-6). Химический состав гранитоидов показан в табл. 1. По соотношению SiO_2 и $(\text{Na}_2\text{O} + \text{K}_2\text{O})$ изученные породы соответствуют низкокалиевым гранодиоритам и плагиогранитам нормальной щелочности с низким содержанием РЗЭ ($\Sigma_{\text{РЗЭ}} = 24\text{--}72 \text{ г/т}$), слабо дифференцированным ($(\text{La}/\text{Sm})_N = 1.5\text{--}2.8$) распределением легких и практически не дифференцированным ($(\text{Gd}/\text{Yb})_N = 0.9\text{--}1.1$) – тяжелых РЗЭ. Отмечаются незначительные как отрицательные, так и положительные Eu-аномалии ($0.9 < \text{Eu}^*/\text{Eu} < 1.3$). По отношению к примитивной мантии породы существенно обеднены Ta, Nb, Th и Ti. Следует отметить, что геохимические характеристики изученных образцов Таллаинского plutона близки гранитоидам габбро-гранитной ассоциации бассейна реки Каралон, достаточно полно рассмотренных в работе [11].

РЕЗУЛЬТАТЫ U-Pb-ГЕОХРОНОЛОГИЧЕСКИХ ИССЛЕДОВАНИЙ ЦИРКОНОВ И ИХ ОБСУЖДЕНИЕ

Изотопное датирование отдельных зерен циркона выполнено на ионном микрозонде “SHRIMP”-II в ЦИИ ВСЕГЕИ по методике [14]. Параметры измерений и расчетов приведены в примечании к табл. 2.

Циркон из гранодиорита (обр. 90045-4) по данным изучения в проходящем свете и в режиме катодолюминесценции (КЛ) (рис. 2) представлен идиоморфными и субидиоморфными бесцветными зернами и их обломками. Преобладают зерна с $K_y = 1.5\text{--}2.0$ и с тонкой (в режиме КЛ) осцилляторной зональностью (1, 111). В них наблюдаются многочисленные, частично раскристаллизованные расплавные включения и игольчатые включения апатита. В ряде случаев в таких зернах отмечаются резорбированные, трещиноватые, скорее всего ксеногенные ядра (рис. 2). На магматических и ксеноморфных ядрах наблюдаются светло-серые в режиме КЛ оболочки только с флюидными включениями. Эти оболочки, вероятно, имеют метаморфическое происхождение. Очень редко отмечаются идиоморфные зерна метаморфического, однородного в режиме КЛ циркона с $K_y = 4\text{--}5$, содержащие редкие флюидные включения.

Циркон, выделенный из рассланцованного плагиогранита (обр. 90046-6), представлен преимущественно субидиоморфными бесцветными слегка розоватыми кристаллами (рис. 2 VI). Встречаются также темно-бурые, почти черные зерна размером $150\text{--}250 \text{ мкм}$, $K_y = 1.5\text{--}2.5$. Зерна циркона состоят из резорбированных ядер и тонких бесцветных оболочек или их фрагментов (на-

Таблица 1. Химический и Nd-изотопный состав пород главной фазы Таллаинского плутона

	90045/4*	90045-1	90046-2	90046/6**
SiO ₂	66.43	74.04	72.00	72.30
TiO ₂	0.49	0.37	0.38	0.45
Al ₂ O ₃	14.22	13.20	13.40	13.80
Fe ₂ O ₃ *	2.88	1.37	2.73	3.08
MnO	0.09	0.05	0.06	0.06
MgO	3.62	1.95	0.86	0.76
CaO	3.94	1.65	1.8	2.31
Na ₂ O	4.09	5.30	6.53	4.45
K ₂ O	0.79	0.62	1.20	1.55
P ₂ O ₅	0.17	0.1	0.08	0.06
ппп	1.34	0.38	0.57	1.00
сумма	96.72	98.65	99.04	99.76
Sc	15.4	10.1	5.77	8.79
V	86	47	35.2	32
Cr	3.39	5.23	10.7	6.13
Co	11	5.25	2.85	4.93
Ni	4.42	5.4	8.51	9.55
Cu	102	56.8	9.98	76.3
Zn	96.9	57.7	30.1	62.6
Ga	13.5	8.37	14.5	14.1
Rb	29.8	22.9	23.7	21.2
Sr	264	170	250	319
Y	18.8	14.3	18.2	18.2
Zr	94	63.5	166	216
Nb	2.03	1.65	2.81	2.84
Ba	288	251	367	601
La	6.36	3.2	10	13.2
Ce	12.1	5.93	20.5	27
Pr	1.54	0.71	2.48	3.15
Nd	6.76	3.87	11.0	13.04
Sm	2.08	1.38	2.76	2.84
Eu	0.67	0.68	1.2	1.25
Gd	2.47	1.75	2.7	2.96
Tb	0.46	0.34	0.46	0.47
Dy	3.25	2.33	2.77	2.98
Ho	0.69	0.51	0.64	0.64
Er	2.11	1.51	2.06	1.92
Tm	0.31	0.21	0.33	0.28
Yb	2.13	1.35	1.92	1.96
Lu	0.32	0.22	0.22	0.31
Hf	2.48	1.82	5	5.57
Ta	0.16	0.15	0.12	0.14
Pb	3.87	2.85	9.26	2.52
Th	1.04	0.54	0.57	1.23

Таблица 1. Окончание

	90045/4*	90045-1	90046-2	90046/6**
U	0.35	0.25	0.35	0.51
$^{147}\text{Sm}/^{144}\text{Nd}$	0.1863	—	—	0.1315
$^{143}\text{Nd}/^{144}\text{Nd}$	0.512959 ± 5	—	—	0.512729
$\varepsilon_{\text{Nd}}(0)$	6.3	—	—	1.8
$\varepsilon_{\text{Nd}}(660)$	7.2	—	—	7.3
$t_{\text{Nd}}(\text{DM})$	1072	—	—	784
$t_{\text{Nd}}(\text{DM})-2$	780	—	—	769

Примечание. $t_{\text{Nd}}(\text{DM})$ – модельный возраст, $t_{\text{Nd}}(\text{DM})-2$ – модельный возраст (двухстадийная модель). * – данные по [7]; ** – новые данные; Методика Nd-изотопного анализа приведена в [7, 8].

ростов на дипирамидах ядер), придающих кристаллам субдиоморфный облик. Так же, как и в цирконе, из гранодиорита наблюдаются реликты интенсивно резорбированного (скорее всего, ксеногенного) магматического (осцилляторная зональность, расплавные включения) циркона. Таким образом, в изученных породах главной фазы plutона общее строение циркона оказалось практически одинаковым, за исключением значительно более широких метаморфических оболочек в цирконе катализированного гранодиорита.

Результаты геохронологических исследований циркона из гранодиорита (обр. 90045-4) и пластигранита (обр. 90046-6) Таллаинского plutона приведены в табл. 2 (из рассмотрения исключены дискордантные данные ($D > 10$) и результаты с $^{206}\text{Pb}_c \geq 1\%$). На рис. 3 показаны положение эллипсов, полученных для магматических ядер и метаморфических оболочек на диаграмме с конкордией, и оценки значений их возраста. Средневзвешенные оценки возраста магматического циркона из пластигранита 660 ± 9 млн лет и гранодиорита 661 ± 9 млн лет в пределах ошибок одинаковы. В связи с этим на диаграмме с конкордией геохронологические данные, полученные для двух проб, не разделены.

Обобщенная средневзвешенная оценка возраста магматического циркона пластигранита и гранодиорита составляет 661 ± 6 млн лет (СКВО = 1.3, $n = 11$) и интерпретируется как возраст кристаллизации пород главной фазы Таллаинского plutона. Для трех зерен ксеногенного магматического циркона получена средневзвешенная оценка $^{206}\text{Pb}/^{238}\text{U}$ возраста 677 ± 9 млн лет (СКВО = 0.07). Возможно, данные для ксеногенного циркона указывают на близкий возраст габброидов и гранитоидов Таллаинского plutона.

На диаграмме с конкордией (рис. 3) эллипсы для магматических ядер и метаморфических оболочек цирконов гранодиорита, так же как и эллипсы магматических и ксеногенных ядер ча-

стично пересекаются, указывая на недостаточность точности изотопного анализа при разделении сближенных во времени событий становления Таллаинского plutона и его структурно-метаморфических преобразований. Тем не менее полученные интервалы как средневзвешенных, так и конкордантных оценок возраста магматических ядер и метаморфических оболочек статистически различимы, позволяя оценить время метаморфизма пород plutона в 637 ± 5 млн лет.

Согласно Nd-изотопным данным (см. табл. 1), датированные гранодиориты и рассланцованные пластиграниты Таллаинского plutона имеют высокие положительные значения $\varepsilon_{\text{Nd}}(660) = 7.2$ и 7.3, близкие к DM этого возраста, что указывает на ювенильный источник их родоначальных расплавов, подобно всем позднебайкальским габбро-гранитным ассоциациям БВП [7, 8].

Обобщая результаты проведенных исследований, можно заключить, что магматические породы главной фазы Таллаинского plutона сформировались около 661 ± 6 млн лет назад и подверглись структурно-метаморфическим преобразованиям на рубеже 637 ± 5 млн лет. Кроме этого, полученные к настоящему времени геохронологические и изотопно-геохимические данные [7–11] показывают, что позднебайкальские ювенильные габбро-диорит-пластигранитные интрузии Байкало-Витимского пояса формировались как минимум на двух рубежах – 660 млн лет (“таллаинские”) и 615–603 млн лет (“падоринские”). Исходя из этого, за габбро-диорит-пластигранитной ассоциацией пород Таллаинского plutона с возрастом 660 млн лет (см. рис. 1 б) и ее возрастными аналогами в других зонах БВП, очевидно, следует сохранить статус “таллаинского комплекса”, а габбро-диорит-гранодиоритовые интрузии бассейна реки Карапон в Карапон-Мамаканской зоне с возрастом 603–615 млн лет (см. рис. 1 б) предлагается включить в состав падоринского комплекса раннего эдиакария, выделявшегося в Средневитимской горной стране В.А. Охотниковым (1968).

Таблица 2. Результаты U–Pb-геохронологических исследований циркона из плагиогранита (90046-6) и гранодиорита (90045-4) Галданского plutона

Образец и номер зерна циркона	% ₂₀₆ Pb ^c	U/ ₂₀₆ Pb	Th/ ₂₃₂ U	232Th/ ₂₃₈ U	206Pb*, f/r	206Pb*/238U	Бо3PacT 207Pb/206Pb	+ D, %	238U/ ₂₀₆ Pb	* ₂₀₆ Pb*	% + D, %	207Pb*/ ₂₀₆ Pb*	% + D, %	206Pb*/ ₂₃₅ U	% + D, %	R	U _{pm} 年代 ±		
90046_2.1	0.15	395	129	0.34	36.5	657.6	7	661	31	0	9.31	1.1	0.06161	1.4	0.912	1.8	0.1074	1.1	0.62102
90046_3.1	0.31	52	46	0.92	4.78	658	11	718	83	9	9.3	1.8	0.0633	3.9	0.938	4.3	0.1075	1.8	0.41144
90046_3.2	0.18	189	276	1.51	17.2	647.9	8	662	44	2	9.46	1.2	0.0616	2.1	0.899	2.4	0.1057	1.2	0.51236
90046_4.1	0.65	48	46	0.98	4.47	655	10	709	120	8	9.35	1.7	0.063	5.4	0.93	5.7	0.107	1.7	0.29668
90046_4.2	0.33	206	102	0.51	19.2	660.7	8	659	51	0	9.27	1.3	0.0616	2.4	0.916	2.7	0.1079	1.3	0.46552
90046_7.1	0.36	797	528	0.68	76.2	678.5	7	696	48	3	9.01	1.1	0.0626	2.2	0.958	2.5	0.111	1.1	0.44312
90046_9.1	0.22	730	263	0.37	67.3	655.4	7	647	26	-1	9.34	1.1	0.06122	1.2	0.903	1.7	0.107	1.1	0.67168
90046_11.1	0.34	37	27	0.74	3.5	664	11	673	98	1	9.22	1.8	0.062	4.6	0.927	4.9	0.1085	1.8	0.3633
90046_12.1	0.14	167	115	0.71	15.7	667.1	8	677	46	2	9.17	1.3	0.0621	2.2	0.933	2.5	0.109	1.3	0.50042
90046_14.1	0.48	48	35	0.76	4.33	646	10	686	120	6	9.48	1.7	0.0623	5.5	0.907	5.8	0.1055	1.7	0.28853
90045-4-6.3	1	46	12	0.27	4.29	658.5	10	618	140	-6	9.21	1.5	0.0686	3.6	0.896	6.6	0.1075	1.6	0.242
90045-4-4.1	0.51	96	52	0.56	8.92	659.6	8	665	95	1	9.23	1.2	0.0659	3.2	0.917	4.6	0.1077	1.2	0.26
90045-4-6.2	0.38	126	67	0.55	11.8	664.2	8	643	66	-3	9.18	1.2	0.0642	2.1	0.914	3.3	0.1085	1.2	0.36
90045-4-5.1	0.04	642	582	0.94	57.2	635.7	5	622	23	-2	9.646	0.8	0.06083	10	0.864	1.3	0.10363	0.84	0.623
90045-4-8.1	0.07	711	762	1.11	63.7	639.8	5	650	22	2	9.577	0.8	0.06188	0.93	0.882	1.3	0.10435	0.83	0.633
90045-4-10.1	0.08	944	854	0.94	84.2	636.7	5	637	20	0	9.626	0.8	0.0616	0.83	0.872	1.2	0.1038	0.81	0.666
90045-4-10.2	0.74	66	19	0.29	5.91	630.1	8	670	110	6	9.67	1.3	0.0679	2.9	0.876	5.3	0.1027	1.3	0.254
90046_13.2	0.173	130.4	111.8	0.88594	12.4	675.1	8	709	57	4.97	9.06	1.3	0.063	2.7	0.959	3	0.1104	1.3	0.43635
90046_15.1	0.09	405	842	2.15	38.6	676.9	7	669	28	-1	9.03	1.1	0.06185	1.3	0.944	1.7	0.1107	1.1	.650
90046_7.2	0.42	56	46	0.85	5.36	680	10	696	93	2	8.98	1.6	0.0626	4.4	0.962	4.6	0.1113	1.6	.339

Примечание. D – дискордантность, R – коэффициент корреляции ошибок, ± – ошибки. Ошибка при стандартной калибровке составила 0.40%. * – свинец склеректирован на измеренный ²⁰⁴Pb. Интенсивность первичного пучка молекулярного кислорода составляла ~3–4 нА, диаметр кратера 25 мкм при глубине 2 мкм. Обработка полученных данных производилась с использованием программы SQUID v.1.13 и v.2 [15], построение графиков с конкордиями ISOPLOT/Ex v.3.41b. Уран-свинцовые отношения нормализовались на значение 0.0668, соответствующее стандартному широкону TEMORA. Погрешности единичных анализов (отношений и возрастов), а также погрешности рассчитанных конкордантных возрастов приведены на уровне 1σ. Для интерпретации использовались U–Pb-изотопные данные, удовлетворяющие условиям обывковенного Pb_c ≤ 1% и с дискордантностью ≤ 10%.

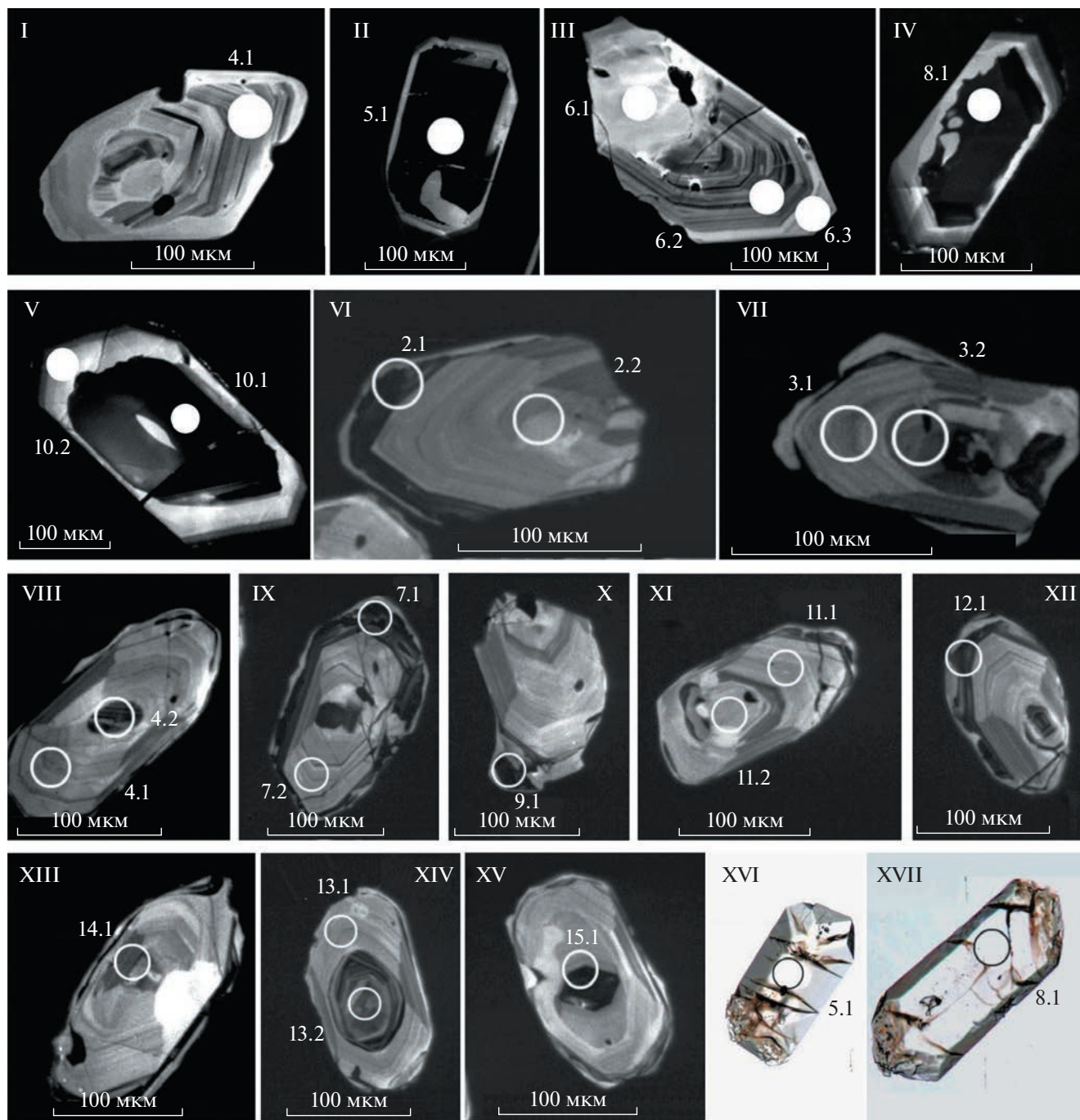


Рис. 2. Микрофотографии кристаллов циркона из образцов 90045-4 (I–V, XVI, XVII) и 90046-6 (VI–XV) в режиме катодолюминесценции (I–XV) (выполнено на сканирующем электронном микроскопе CamScan MX2500) и в проходящем свете (XVI–XVII). I – магматический циркон с осцилляторной зональностью с ксеногенным ядром (не датировано); II, IV, V – кристаллы циркона, состоящие из невскрытого (возможно, ксеногенного) ядра и датированной метаморфической оболочки, которые хорошо видны в проходящем свете (XVI, XVII); III, VI, VII, VIII, IX, XI, XII, XIII – кристаллы магматического циркона с осцилляторной зональностью; XI – магматический циркон с осцилляторной зональностью с ксеногенным ядром (не датировано); XIV – магматический циркон с осцилляторной зональностью с ксеногенным ядром (датировано); XV – магматический циркон с осцилляторной зональностью с ксеногенным ядром (датировано); XVI, XVII – микрофотографии зерен циркона, состоящих из невскрытых, возможно, ксеногенных ядер и метаморфических оболочек, обуславливающих идиоморфный облик кристаллов (ядра в данном случае не видны, поскольку сфокусирована поверхность кристаллов). Обозначения областей измерения на рисунке соответствуют номеру зерна циркона в табл. 2. Для областей измерения 2.2, 6.1, 10.2, 7.2, 11.2, 13.1 и 13.2 получены дискордантные данные, в связи с чем эти результаты измерений в табл. 2 не приведены.

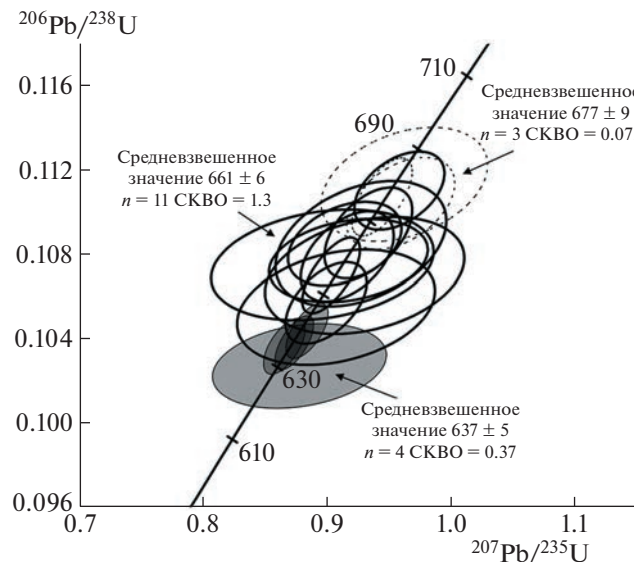


Рис. 3. Диаграмма с конкордией для циркона из образцов плагиогранита (90046-6) и гранодиорита (90045-4) Таллаинского plutона. Незалипые эллипсы (жирные сплошные линии) – магматические ядра, залитые эллипсы – метаморфические оболочки, незалипые эллипсы (пунктирные линии) – ксеногенные ядра.

В итоге можно заключить, что позднебайкальские габбро-гранитные интрузии Байкало-Витимского пояса, так же, как и сходные с ними по составу интрузии ранних каледонид ЦАОП ([4, 5] и др.), формировались в несколько дискретных этапов.

ИСТОЧНИКИ ФИНАНСИРОВАНИЯ

Исследования выполнены в рамках государственного задания ИГД РАН – тема FMUW-2022-0004 и при поддержке Фонда развития отечественной геологии (Санкт-Петербург).

СПИСОК ЛИТЕРАТУРЫ

1. Ярмоляк В.В., Дегтярев К.Е. Докембрийские террейны Центрально-Азиатского Орогенного пояса: сравнительная характеристика, типизация и особенности тектонической эволюции // Геотектоника. 2019. № 1. С. 3–43.
2. Рыцк Е.Ю., Амелин Ю.В., Ризванова Н.Г. и др. Возраст пород Байкало-Муйского складчатого пояса // Стратиграфия. Геол.корреляция. 2001. Т. 9. № 4. С. 3–15.
3. Митрофанова Н.Н. Болдырев В.И., Коробейников Н.К. и др. Государственная геологическая карта Российской Федерации. Масштаб 1:1 000 000 (третье поколение). Серия Алдано-Забайкальская. Лист О-49-Киренск. Объяснительная записка. – СПб.: Карт-фабрика ВСЕГЕИ. 2010. 648 с.
4. Владимиров А.Г., Изох А.Э., Поляков Г.В. и др. Габбро-гранитные интрузивные серии и их индикаторное значение для геодинамических реконструкций // Петрология. 2013. Т. 21. № 2. С. 177–201.
5. Руднев С.Н., Ковач В.П., Пономарчук В.А. Венд-раннекембрийский островодужный плагиогранитоидный магматизм Алтая-Саянской складчатой области и Озерной зоны Западной Монголии (геохронологические, геохимические и изотопные данные) // Геология и геофизика. 2013. Т. 54. № 10. С. 1628–1647.
6. Салон Л.И. Геология Байкальской горной области. 1967. Т. II. 700 с.
7. Рыцк Е.Ю., Ковач В.П., Ярмоляк В.В., Коваленко В.И. Структура и эволюция континентальной коры Байкальской складчатой области // Геотектоника. 2007. № 6. С. 23–51.
8. Андреев А.А., Рыцк Е.Ю., Великославинский С.Д. и др. Возраст, состав и тектонические обстановки формирования позднебайкальских комплексов Кичерской зоны Байкало-Витимского пояса (Северное Прибайкалье): геологические, геохронологические (ID-TIMS, SIMS) и Nd-изотопные данные // Петрология. 2022. Т. 30. № 4. С. 1–34.
9. Ванин В.А., Донская Т.В., Гладкоуб Д.П. Геохимическая характеристика, возраст и обстановки формирования магматических пород Верхнеянского рудного поля (Северное Забайкалье) / Тез. докл. “Геодинамическая эволюция литосферы Центрально-Азиатского подвижного пояса”. Иркутск, 2017. Вып. 15. С. 24–25.
10. Рыцк Е.Ю., Котов А.Б., Сальникова Е.Б. и др. U-Pb геохронология габбро-диорит-тоналит-гранодиоритовых интрузий Байкало-Муйского пояса / Тез. докл. “Геодинамическая эволюция литосферы Центрально-Азиатского подвижного пояса”. Иркутск, 2012. Вып. 10. Т. 2. С. 57.
11. Рыцк Е.Ю., Великославинский С.Д., Алексеев И.А. и др. Геологическое строение Карапонского золоторудного поля (Средневитимская горная страна) // Геол. рудных месторождений. 2018. Т. 60. № 4. С. 342–370.
12. Skuzovatov S., Shatsky V.I., Wang Kuo-Lung. Continental subduction during arc-microcontinent collision in the southern Siberian craton: Constraints on protoliths and metamorphic evolution of the North Muya complex eclogites (Eastern Siberia) // Lithos. 2019. V. 342–343. P. 76–96.
13. Рыцк Е.Ю., Макеев А.Ф., Глебовицкий В.А., Федосенко А.М. Вендинский (590 ± 5 млн лет) возраст падринской серии Байкало-Муйского складчатого пояса: U-Pb данные по циркону // ДАН. 2004. Т. 397. № 4. С. 517–519.
14. Williams I.S., et al. In: Applications in microanalytical techniques to understanding mineralizing processes // Reviews in Economic Geology. 1998. 7. P. 1–35.
15. Ludwig K.R. Berkley Geochronology Center Sp. Publ. 2003. № 4. 70 p.

GEOLOGICAL POSITION, AGE AND SOURCES OF TALLAIN GABBRO-DIORITE-PLAGIOGRANITE PLUTON (SREDNEVITIMSKAYA MOUNTAINOUS COUNTRY)

E. Yu. Rytsk^a, S. D. Velikoslavinsky^a, Corresponding Member of the RAS A. B. Kuznetsov^a, E. V. Tolmacheva^a, N. V. Rodionov^c, N. G. Berejnaya^c, P. A. Lvov^c, E. S. Bogomolov^a, A. A. Andreev^{b, #}, and A. M. Fedoseenko^a

^a*Institute of Precambrian Geology and Geochronology of the Russian Academy of Sciences,
St. Petersburg, Russian Federation*

^b*Institute of Geology of Ore Deposits, Petrography, Mineralogy and Geochemistry of the Russian Academy of Sciences,
Moscow, Russian Federation*

^c*Russian Geological Research Institute (VSEGEI), St. Petersburg, Russian Federation*

[#]*E-mail: axel-foley@yandex.ru*

The results of a geochronological study (U–Pb SHRIMP-II) of zircon from granodiorites and plagiogranites of the main phase of the Tallain pluton of the Baikal-Vitim belt are presented. The obtained estimates of the age of the magmatic cores of zircon from granodiorite and plagiogranite coincide with each other within errors and are interpreted as the age of crystallization of rocks of the main phase of the Tallain pluton 661 ± 6 million years. The weighted average age of the metamorphic zircon shells of these rocks is 637 ± 5 million years. High positive values of ϵ_{Nd} (660) +7.2 and +7.3 in the rocks of the main phase indicate a juvenile source of the parent melts. Based on new and previously published geochronological data, a conclusion is made about the formation of similar late Neoproterozoic juvenile gabbro-granite associations of the Baikal-Vitim belt at the turn of 660 million years (Tallain complex) and 603–615 million years (Padorinsky complex).

Keywords: U–Pb geochronological studies, zircon, granodiorite and plagiogranite, Baikal-Vitim belt